



Ciencia y Tecnología

Secretaría de Ciencia, Humanidades, Tecnología e Innovación



CIMAT
UNIDAD MÉRIDA

ALGORITMOS DE ESTIMACIÓN DE MOVIMIENTO

Dr. Francisco J. Hernández López
SECIHTI – CIMAT-Mérida
fcoj23@cimat.mx, www.cimat.mx/~fcoj23



ESTIMACIÓN DE MOVIMIENTO GLOBAL

- El movimiento de la cámara afecta el movimiento de todos los píxeles de la secuencia de video
- Un algoritmo de compensación de movimiento global (CMG) puede ser incluido en algún compresor de video (como MPEG)
- Bajo el modelo de intensidad constante y el criterio de error cuadrático, tenemos el siguiente problema de optimización:

$$\min_{\vec{v}} \mathcal{E}(\vec{v}), \quad \mathcal{E}(\vec{v}) = \sum_{\vec{x}} \mathcal{E}^2(\vec{x}), \quad \mathcal{E}(\vec{x}) = I_k(\vec{x}) - I_{k-1}[\vec{x} - \vec{v}(\vec{x})(t_k - t_{k-1})]$$

asumiendo $t_k - t_{k-1} = 1$

Algunas elecciones de $\vec{v}(\vec{x})$ pueden ser:

$$\begin{cases} \vec{v}(\vec{x}) = \begin{pmatrix} p_1 \\ p_2 \end{pmatrix} \\ \vec{v}(\vec{x}) = \begin{pmatrix} p_1 \\ p_2 \end{pmatrix} + \begin{pmatrix} p_3 & p_4 \\ p_5 & p_6 \end{pmatrix} \vec{x} \end{cases}$$

ESTIMACIÓN DE MOVIMIENTO GLOBAL (C1)

- Ya que la dependencia entre $\mathcal{E}(\vec{v})$ y \vec{b} es no lineal, entonces se utiliza un procedimiento de minimización iterativo, por ejemplo:

$$\vec{b}^{k+1} = \vec{b}^k + B^{-1}\vec{c}$$

donde B es la matriz Hessiana de $K \times K$

$$B_{k_1 k_2} = \sum_{\vec{x}} \frac{\partial^2 \mathcal{E}^2(\vec{x})}{\partial b_{k_1} \partial b_{k_2}}$$

y \vec{c} un vector

$$\vec{c} = - \sum_{\vec{x}} \mathcal{E}(\vec{x}) \frac{\partial \mathcal{E}(\vec{x})}{\partial b_{k_1}}$$

EMPAREJAMIENTO DE BLOQUES

- Es el algoritmo más simple para estimación de movimiento local
- Utiliza un modelo de movimiento constante en espacio y lineal en el tiempo sobre una región de soporte rectangular
- Puede ser implementado en tiempo real usando VLSI (*Very Large Scale Integration*), CUDA (*Compute Unified Device Architecture*), etc.
- El objetivo es minimizar:

$$\min_{\vec{d}(\vec{x}) \in S} \mathcal{E}(\vec{d}(\vec{x})), \quad \mathcal{E}(\vec{d}(\vec{x})) = \sum_{\vec{y} \in R_{\vec{x}}} \Phi[I_k(\vec{y}) - I_{k-1}(\vec{y} - d(\vec{x}))], \quad \forall \vec{x}$$

donde S es el área de búsqueda en la cual $d(\vec{x}) \in S$

CORRELACIÓN DE FASE, PHASE ONLY CORRELATION (POC)

- Método basado en el dominio de la frecuencia
- Se utiliza para estimar el movimiento global
- En combinación con el emparejamiento de bloques, POC explota las ventajas de los criterios tanto en el dominio espacial como en la frecuencia
- La idea es calcular los candidatos \vec{d} en el dominio de la frecuencia y entonces realizar una búsqueda con emparejamiento de bloques solo para dichos candidatos (evitando la búsqueda exhaustiva)

POC (C1)

- Dado el criterio de correlación cruzada

$$C(\vec{d}) = \sum_{\vec{x}} f(\vec{x})g(\vec{x} - \vec{d}(\vec{x})),$$

- Usando Fourier puede ser expresado como

$$\mathcal{F}(C(\vec{d})) = \mathcal{F}\left[\sum_{\vec{x}} f(\vec{x})g(\vec{x} - \vec{d}(\vec{x}))\right] = \mathcal{F}(\omega)G^*(\omega),$$

donde $G^*(\omega)$ es el conjugado de $G(\omega)$

- Normalizando $\mathcal{F}(C(\vec{d}))$ y tomando la inversa de Fourier

$$r(\vec{x}) = \mathcal{F}^{-1}\left\{\frac{\mathcal{F}(\omega)G^*(\omega)}{|\mathcal{F}(\omega)G^*(\omega)|}\right\}$$

Entonces $r(\vec{x})$ es la correlación normalizada entre f y g

POC (C2)

- En el caso especial de una traslación global

$$f(\vec{x}) = g(\vec{x} - \vec{d}),$$

- Usando la propiedad del corrimiento podemos ver que la inversa de la transformada de Fourier de una exponencial compleja es una función delta de Kronecker:

$$r(\vec{x}) \Big|_{f(\vec{x})=g(\vec{x}-\vec{d})} = \delta(\vec{x} - \vec{d})$$

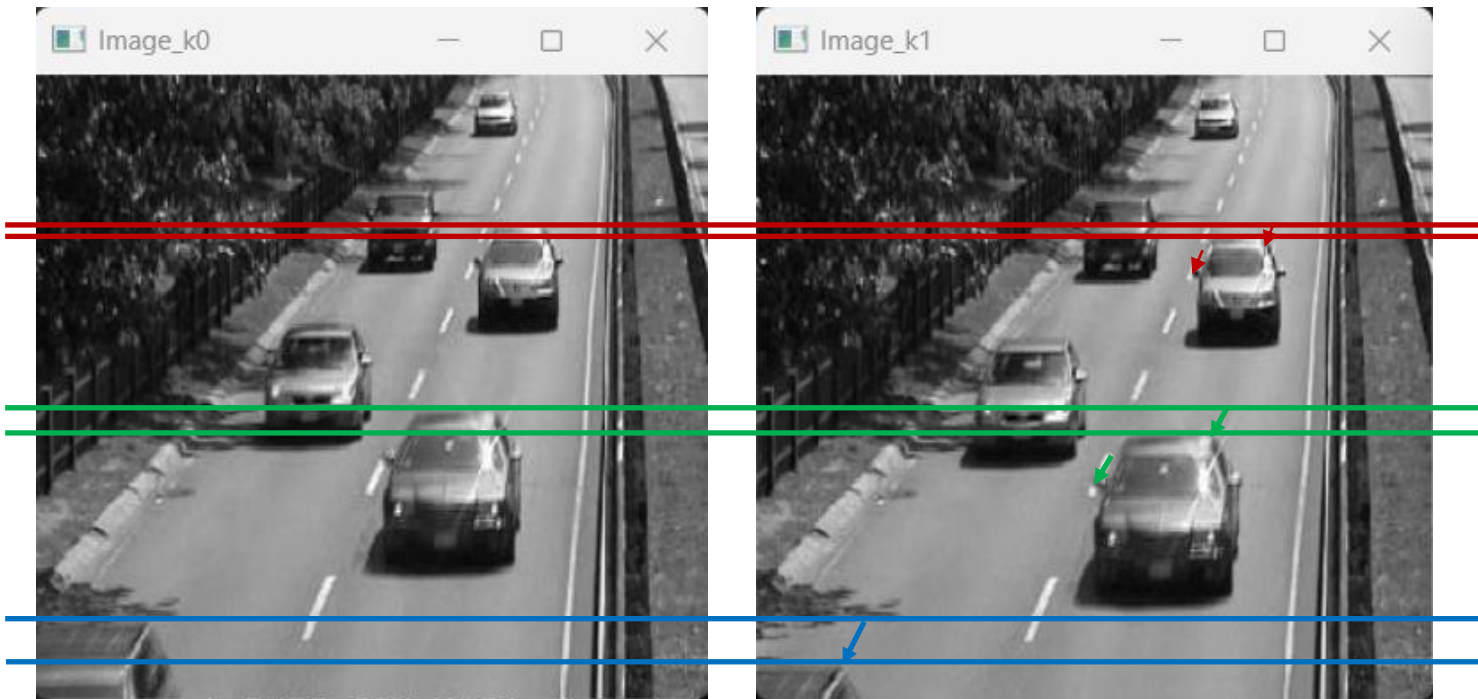
- En la práctica $r(\vec{x})$ no es solo un impulso, tiene numerosos picos, los cuales pueden ser utilizados como candidatos en un emparejamiento por bloques

ALGORITMO POC CON EMPAREJAMIENTO DE BLOQUES

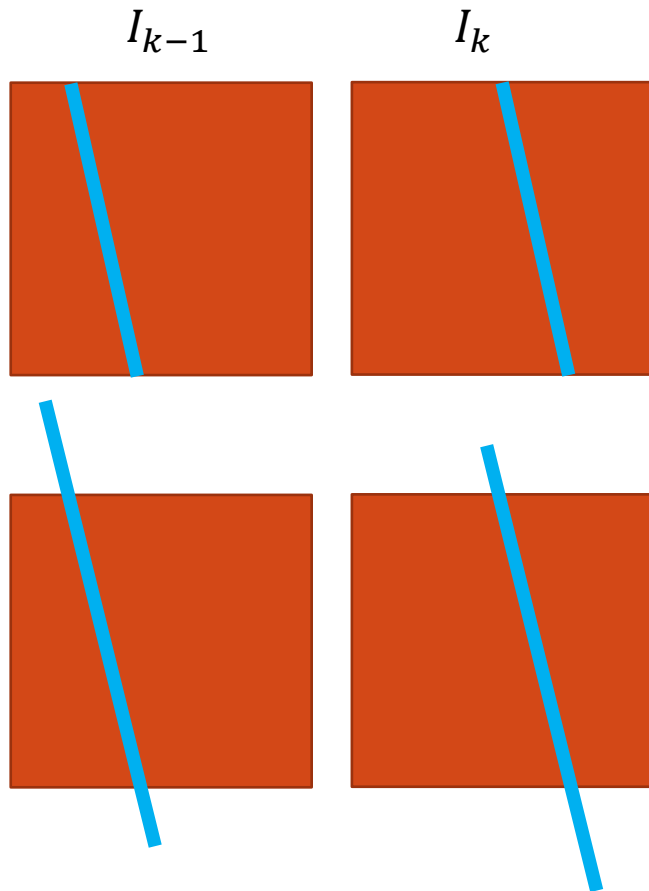
1. Dividir I_{k-1} y I_k en bloques grandes I_{k-1}^m y I_k^m (64×64 considerando movimientos de hasta ± 32 píxeles) para $m = 1, \dots, M$, con M el número de bloques
2. Calcular la transformada de Fourier de cada bloque
3. Calcular $r^m(\vec{x})$ con los correspondientes bloques I_{k-1}^m y I_k^m
4. Estimar n desplazamientos candidatos \vec{d}_n^m en cada bloque, a partir de los picos más altos de $r^m(\vec{x})$, (por ej. con $n = 5$)
5. Utilizar la estrategia de emparejamiento de bloques con los \vec{d}_n^m candidatos para obtener el \vec{d}^* óptimo en cada pixel (por ej. con ventanas de 16×16)

FLUJO ÓPTICO

- Refleja los cambios en la imagen debido al movimiento en un intervalo de tiempo dt , el campo del flujo óptico es el campo de velocidades que representan el movimiento 3D de los objetos a través de una imagen 2D



PROBLEMA DE LA APERTURA



Movimiento percibido
Solo puedo ver en
dirección del gradiente

Movimiento real

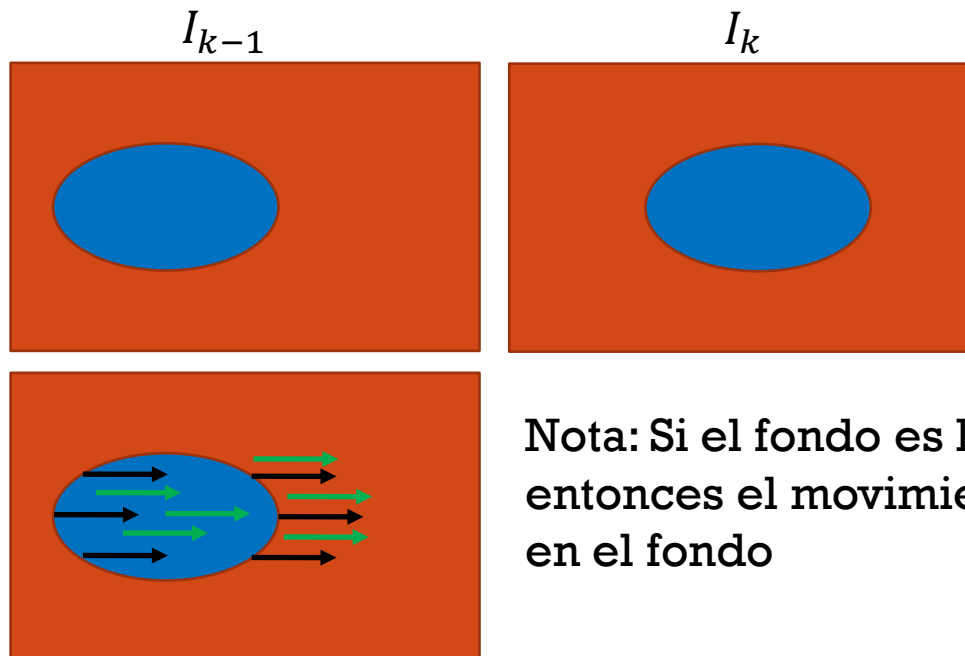


barber's pole
https://en.wikipedia.org/wiki/Barberpole_illusion

REGULARIZACIÓN

- Por el problema de la apertura, podemos agregar un término de regularización

$$\vec{d}(\vec{x}) \approx \vec{d}(\vec{y}), \text{ con } \|\vec{x} - \vec{y}\| = 1$$



Nota: Si el fondo es liso (no tiene textura), entonces el movimiento se va a extender en el fondo

FLUJO ÓPTICO (HORN AND SCHUNK, 1981)

- Sea $I(x, y, t)$ una secuencia de video y $(x(t), y(t))$ la trayectoria de un punto proyectado en el plano de la imagen
- La suposición de brillo constante establece que las intensidades del pixel (x, y) permanecen constantes a través del tiempo

$$I(x + \delta x, y + \delta y, t + \delta t) = I(x, y, t)$$

- Usando Taylor de primer orden, tenemos que

$$I(x + \delta x, y + \delta y, t + \delta t) \approx I(x, y, t) + \frac{\partial I(x, y, t)}{\partial x} \delta x + \frac{\partial I(x, y, t)}{\partial y} \delta y + \frac{\partial I(x, y, t)}{\partial t} \delta t$$

FLUJO ÓPTICO (HORN AND SCHUNK, 1981) (C1)

- Queremos que

$$\frac{\partial I(x, y, t)}{\partial x} \delta x + \frac{\partial I(x, y, t)}{\partial y} \delta y + \frac{\partial I(x, y, t)}{\partial t} \delta t = 0$$

- Dividiendo entre δt llegamos a la ec. de restricción del flujo óptico de Horn-Schunk

$$\frac{\partial I(x, y, t)}{\partial x} u(x, y, t) + \frac{\partial I(x, y, t)}{\partial y} v(x, y, t) + \frac{\partial I(x, y, t)}{\partial t} = 0$$

con $u(x, y, t) = \frac{\delta x}{\delta t}$ y $v(x, y, t) = \frac{\delta y}{\delta t}$

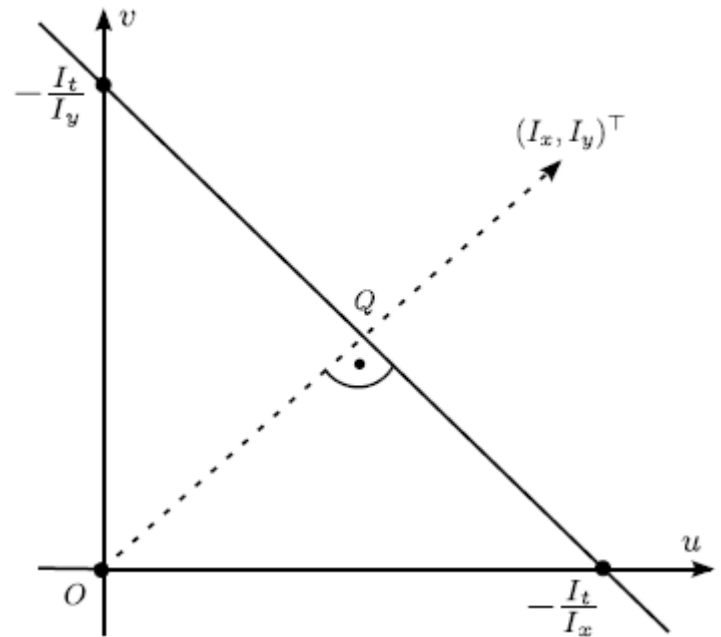
FLUJO ÓPTICO (HORN AND SCHUNK, 1981) (C2)

PRIMERA RESTRICCIÓN

- Podemos escribir la ec. de restricción del flujo óptico de Horn-Schunk de la sig. manera

$$-I_t = uI_x + vI_y = \vec{u}\nabla I$$

- Define una recta en el espacio (u, v)
- La solución que queremos es un punto en esa recta
- Tenemos solo una ecuación con dos incognitas, por lo que necesitamos otra restricción para poder resolver el problema



Klette, R. (2014). *Concise computer vision* (Vol. 233, pp. 2-1). London: Springer.

Algoritmos de estimación de movimiento. Francisco J. Hernández-López

Ene-Jun 2025

FLUJO ÓPTICO (HORN AND SCHUNK, 1981) (C3)

SEGUNDA RESTRICCIÓN

- Movimiento espacial constante. Se asume que pixeles adyacentes en algún pixel (x, y) tienen el mismo vector del flujo óptico (u, v)
- El problema se puede escribir como

$$E_T = \underbrace{\sum_{\Omega} [uI_x + vI_y + I_t]^2}_{\substack{\text{Término de datos} \\ E_D}} + \lambda \underbrace{\sum_{\Omega} \left[\left(\frac{\partial u}{\partial x} \right)^2 + \left(\frac{\partial u}{\partial y} \right)^2 + \left(\frac{\partial v}{\partial x} \right)^2 + \left(\frac{\partial v}{\partial y} \right)^2 \right]}_{\substack{\text{Término de restricción de suavidad} \\ E_S}}$$

FLUJO ÓPTICO (HORN AND SCHUNK, 1981) (C4)

- Derivadas del término de datos c.r.a u_{xy} y v_{xy}

$$\frac{\partial E_D}{\partial u_{xy}}(u, v) = 2[I_x(x, y)u_{xy} + I_y(x, y)v_{xy} + I_t(x, y)]I_x(x, y)$$

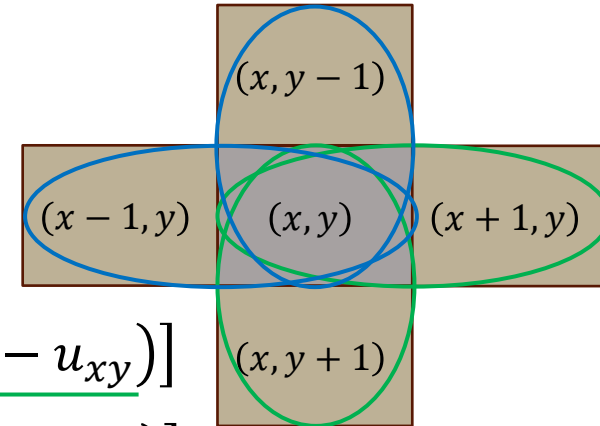
$$\frac{\partial E_D}{\partial v_{xy}}(u, v) = 2[I_x(x, y)u_{xy} + I_y(x, y)v_{xy} + I_t(x, y)]I_y(x, y)$$

- Podemos aprox. las derivadas del término de suavidad como

$$E_S = \sum_{x,y} (u_{x+1,y} - u_{xy})^2 + (u_{x,y+1} - u_{xy})^2 + (v_{x+1,y} - v_{xy})^2 + (v_{x,y+1} - v_{xy})^2$$

FLUJO ÓPTICO (HORN AND SCHUNK, 1981) (C5)

- Der. del término de suavidad c.r.a u_{xy} y v_{xy}



$$\begin{aligned} \frac{\partial E_S}{\partial u_{xy}}(u, v) &= -2 \left[\underbrace{(u_{x+1,y} - u_{xy}) + (u_{x,y+1} - u_{xy})}_{\text{green}} \right] \\ &\quad + 2 \left[\underbrace{(u_{xy} - u_{x-1,y}) + (u_{xy} - u_{x,y-1})}_{\text{blue}} \right] \\ &= 2 \left[\begin{aligned} &(u_{xy} - u_{x+1,y}) + (u_{xy} - u_{x,y+1}) \\ &+ (u_{xy} - u_{x-1,y}) + (u_{xy} - u_{x,y-1}) \end{aligned} \right] \end{aligned}$$

- Eso se puede reducir a

$$\frac{1}{4} \frac{\partial E_S}{\partial u_{xy}}(u, v) = 2 \left[u_{xy} - \frac{1}{4} \overbrace{(u_{x+1,y} + u_{x,y+1} + u_{x-1,y} + u_{x,y-1})}^{\bar{u}_{xy}} \right]$$

Klette, R. (2014). *Concise computer vision* (Vol. 233, pp. 2-1). London: Springer.

FLUJO ÓPTICO (HORN AND SCHUNK, 1981) (C6)

- Igualando a cero las derivadas, llegamos a estas ecuaciones

$$[I_x(x, y)u_{xy} + I_y(x, y)v_{xy} + I_t(x, y)]I_x(x, y) + \lambda[u_{xy} - \bar{u}_{xy}] = 0$$

$$[I_x(x, y)u_{xy} + I_y(x, y)v_{xy} + I_t(x, y)]I_y(x, y) + \lambda[v_{xy} - \bar{v}_{xy}] = 0$$

- Por regla de Cramer tenemos

$$u_{xy}^{n+1} = \bar{u}_{xy}^n - I_x(x, y) \frac{I_x(x, y) \bar{u}_{xy}^n + I_y(x, y) \bar{v}_{xy} + I_t(x, y)}{\lambda + I_x^2(x, y) + I_y^2(x, y)}$$

$$v_{xy}^{n+1} = \bar{v}_{xy}^n - I_y(x, y) \frac{I_x(x, y) \bar{u}_{xy}^n + I_y(x, y) \bar{v}_{xy} + I_t(x, y)}{\lambda + I_x^2(x, y) + I_y^2(x, y)}$$

ALGORITMO DE FLUJO ÓPTICO (HS)

1. Inicializar $u(x, y) = 0$ y $v(x, y) = 0$ para $(x, y) \in \Omega$
2. Dado un máximo número de iteraciones N , calcular los valores de u^{n+1} y v^{n+1} para todos los pixeles (x, y)

$$u_{xy}^{n+1} = \bar{u}_{xy}^n - I_x(x, y) \frac{I_x(x, y) \bar{u}_{xy}^n + I_y(x, y) \bar{v}_{xy} + I_t(x, y)}{\lambda + I_x^2(x, y) + I_y^2(x, y)}$$

$$v_{xy}^{n+1} = \bar{v}_{xy}^n - I_y(x, y) \frac{I_x(x, y) \bar{u}_{xy}^n + I_y(x, y) \bar{v}_{xy} + I_t(x, y)}{\lambda + I_x^2(x, y) + I_y^2(x, y)}$$

3. Parar si

$$\sum_{x,y} E_T^2(x, y) < \epsilon,$$

donde ϵ es el mínimo error permitido, en otro caso ir al paso 2

FLUJO ÓPTICO (LUCAS-KANADE, 1981)

- Asumiendo intensidad constante

$$I_k(x + \delta x, y + \delta y) - I_{k-1}(x, y) = 0$$

- Asumiendo que los desplazamientos son pequeños entonces (usando Taylor hasta el término de primer orden)

$$I_k(x + \delta x, y + \delta y) \approx I_k(x, y) + \frac{\partial I_k}{\partial x} \delta x + \frac{\partial I_k}{\partial y} \delta y$$

$$\underbrace{\frac{\partial I}{\partial t}}_{I_k(x, y) - I_{k-1}(x, y)} + \frac{\partial I_k}{\partial x} \delta x + \frac{\partial I_k}{\partial y} \delta y = 0$$

- Asumiendo que en la vecindad de un pixel (x, y) los desplaz. son similares:
 - Por ejemplo, en una ventana de 3×3 centrada en (x, y) , tendríamos 9 ecuaciones lineales para calcular los desplaz. $(\delta x, \delta y)$

FLUJO ÓPTICO (LUCAS-KANADE, 1981) (C1)

- Podemos construir el sistema lineal

$$A \begin{pmatrix} \delta x \\ \delta y \end{pmatrix} = \vec{c}$$

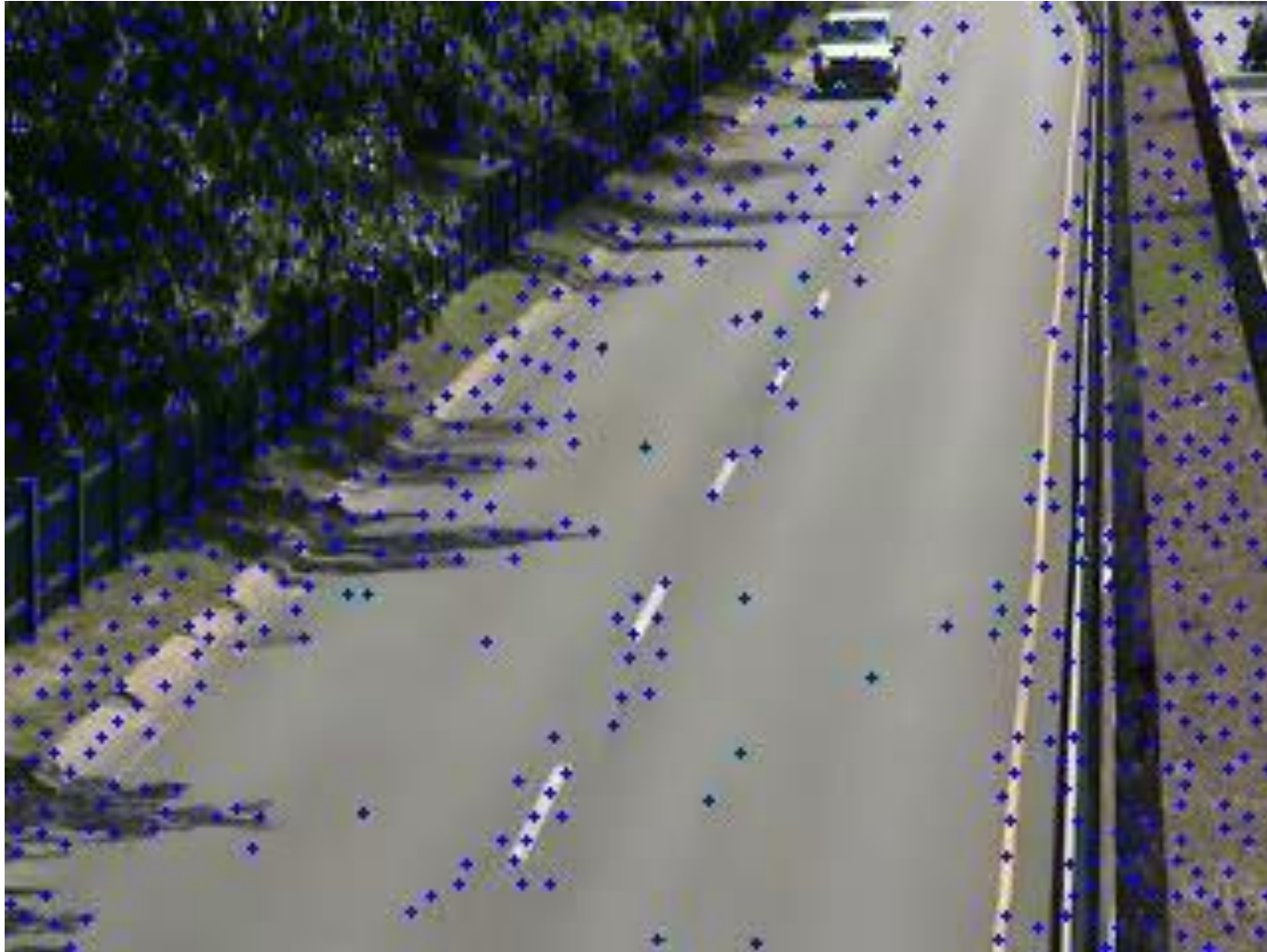
con A una matriz de 9×2 , donde cada fila es una estimación de $\frac{\partial I_k}{\partial x}$, $\frac{\partial I_k}{\partial y}$ y \vec{c} es un vector de 9×1 en donde cada componente es la diferencia de intensidades entre I_k y I_{k-1} en los respectivos pixeles

- La solución de este sistema puede ser

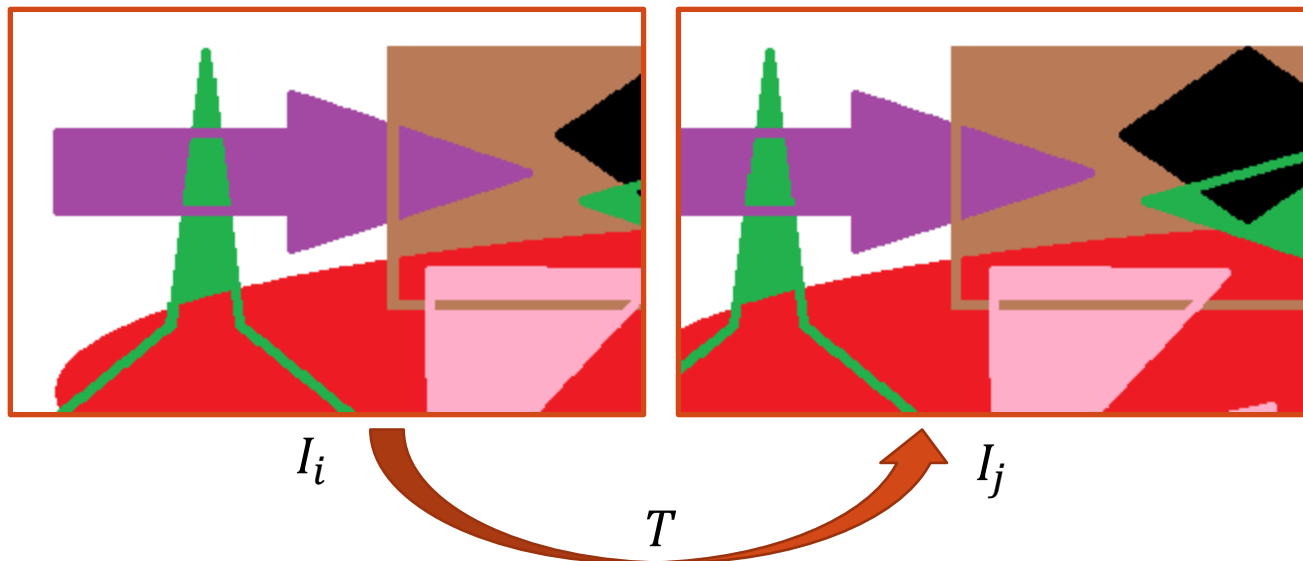
$$A^T A \begin{pmatrix} \delta x \\ \delta y \end{pmatrix} = A^T \vec{c}, \quad A^T A = \begin{pmatrix} \sum \frac{\partial I_k}{\partial x} \frac{\partial I_k}{\partial x} & \sum \frac{\partial I_k}{\partial x} \frac{\partial I_k}{\partial y} \\ \sum \frac{\partial I_k}{\partial x} \frac{\partial I_k}{\partial y} & \sum \frac{\partial I_k}{\partial y} \frac{\partial I_k}{\partial y} \end{pmatrix}$$

el cual es un sistema de 2×2 que tiene solución si $(A^T A)^{-1} \exists$

EJEMPLO DE FLUJO ÓPTICO USANDO PUNTOS CARACTERÍSTICOS Y LK



REGISTRO O ALINEAMIENTO DE IMÁGENES



La idea es encontrar una transformación T , que relacione ambas imágenes, con el fin de poder traslaparlas. Existen diferentes métodos, estos se aplican o se construyen a partir de los diferentes niveles de procesamiento de la imagen:

- Por pixel
- Por regiones
- Por características, etc.

ALINEAMIENTO DE IMÁGENES

- Problema:

$$\min_{\vec{p}} \sum_{\vec{x}} [I(W(\vec{x}; \vec{p})) - T(\vec{x})]^2$$

$W(\vec{x}; \vec{p}) \rightarrow$ Transformación 2D

$\vec{x} \rightarrow$ Coordenadas 2D

$\vec{p} = \{p_1, \dots, p_N\} \rightarrow$ Parámetros de la transf.

$I(\vec{x}') = I(W(\vec{x}; \vec{p})) \rightarrow$ Imagen transformada o deformada

$T(\vec{x}) \rightarrow$ Imagen de referencia o *template*

Baker, S., & Matthews, I. (2004). Lucas-kanade 20 years on: A unifying framework. *International journal of computer vision*, 56, 221-255.

Computer Vision Lectures: <http://www.cs.cmu.edu/~16385/>

Algoritmos de estimación de movimiento. Francisco J. Hernández-López

ALINEAMIENTO USANDO LUCAS-KANADE

- Dada una buena inicialización de los parámetros \vec{p}
- Podemos escribir el problema de la siguiente manera:

$$\sum_{\vec{x}} \left[I \left(W(\vec{x}; \vec{p} + \overrightarrow{\Delta p}) \right) - T(\vec{x}) \right]^2, \quad (1)$$

en donde la idea es estimar el pequeño incremento $\overrightarrow{\Delta p}$

- Usando la aprox. de Taylor de primer orden:

$$f(x, y) \approx f(a, b) + f_x(a, b)(x - a) + f_y(a, b)(y - b)$$

temenos que

$$I \left(W(\vec{x}; \vec{p} + \overrightarrow{\Delta p}) \right) \approx I(W(\vec{x}; \vec{p})) + \frac{\partial I(W(\vec{x}; \vec{p}))}{\partial \vec{p}} \overrightarrow{\Delta p}$$

ALINEAMIENTO USANDO LUCAS-KANADE (C1)

- Usando la regla de la cadena

$$\begin{aligned} I(W(\vec{x}; \vec{p} + \overrightarrow{\Delta p})) &= I(W(\vec{x}; \vec{p})) + \frac{\partial I(W(\vec{x}; \vec{p}))}{\partial \vec{x}'} \frac{\partial W(\vec{x}; \vec{p})}{\partial \vec{p}} \overrightarrow{\Delta p} \\ &= I(W(\vec{x}; \vec{p})) + \nabla I(\vec{x}') \frac{\partial W}{\partial \vec{p}} \overrightarrow{\Delta p} \end{aligned}$$

- Sustituyendo en la ec. (1)

$$\sum_{\vec{x}} \left[I(W(\vec{x}; \vec{p})) + \nabla I(\vec{x}') \frac{\partial W}{\partial \vec{p}} \overrightarrow{\Delta p} - T(\vec{x}) \right]^2, \quad (2)$$

ahora la función es lineal en los parámetros $\overrightarrow{\Delta p}$

¿CÓMO SE CALCULA EL JACOBIANO?

- Podemos escribir la transformación W como

$$W = \begin{bmatrix} w_x(x, y) \\ w_y(x, y) \end{bmatrix}$$

- Entonces el Jacobiano se puede representar de la sig. manera

$$\frac{\partial W}{\partial \vec{p}} = \begin{bmatrix} \frac{\partial w_x}{\partial p_1} & \frac{\partial w_x}{\partial p_2} & \cdots & \frac{\partial w_x}{\partial p_N} \\ \frac{\partial w_y}{\partial p_1} & \frac{\partial w_y}{\partial p_2} & \cdots & \frac{\partial w_y}{\partial p_N} \end{bmatrix}$$

- Por ej., para el modelo Affine:

$$W(\vec{x}; \vec{p}) = \begin{bmatrix} p_1 x + p_2 y + p_3 \\ p_4 x + p_5 y + p_6 \end{bmatrix}, \frac{\partial W(\vec{x}; \vec{p})}{\partial \vec{p}} = \begin{bmatrix} x & y & 1 & 0 & 0 & 0 \\ 0 & 0 & 0 & x & y & 1 \end{bmatrix}$$

ALINEAMIENTO USANDO LUCAS-KANADE (C2)

- El problema lo podemos escribir también de esta forma

$$\min_{\vec{\Delta p}} \sum_{\vec{x}} \left[\nabla I(\vec{x}') \frac{\partial W}{\partial \vec{p}} \vec{\Delta p} - [T(\vec{x}) - I(W(\vec{x}; \vec{p}))] \right]^2 \quad (3)$$

- Aprox. por mínimos cuadrados

$$\widehat{\vec{\Delta p}} = \arg \min_{\vec{\Delta p}} \|A\vec{\Delta p} - \vec{b}\|^2$$

$$\vec{\Delta p} = (A^T A)^{-1} A^T \vec{b}$$

$$\vec{\Delta p} = H^{-1} \sum_{\vec{x}} \left[\nabla I \frac{\partial W}{\partial \vec{p}} \right]^T [T(\vec{x}) - I(W(\vec{x}; \vec{p}))]$$

$$\text{con } H = \sum_{\vec{x}} \left[\nabla I \frac{\partial W}{\partial \vec{p}} \right]^T \left[\nabla I \frac{\partial W}{\partial \vec{p}} \right] = A^T A$$

ALGORITMO LK – ALINEAMIENTO ADITIVO

1. Transf. la imagen $I(W(\vec{x}; \vec{p}))$

2. Calcular el error

$$E(\vec{x}) = [T(\vec{x}) - I(W(\vec{x}; \vec{p}))]$$

3. Calcular el gradiente

$$\nabla I(\vec{x}'), \vec{x}' = W(\vec{x}; \vec{p})$$

4. Evaluar el Jacobiano $\frac{\partial W}{\partial \vec{p}}$

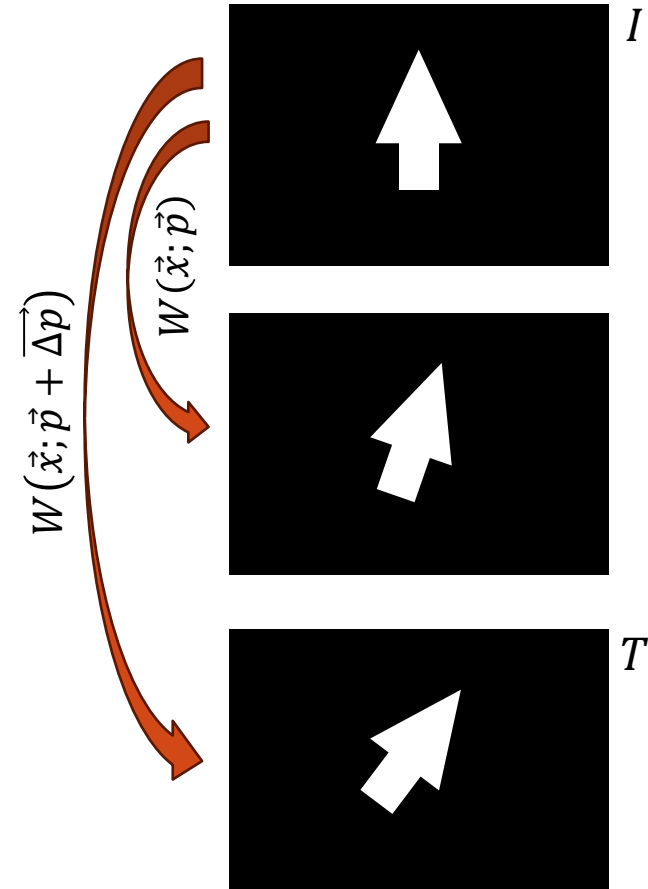
5. Calcular el Hessiano

$$H = \sum_{\vec{x}} \left[\nabla I \frac{\partial W}{\partial \vec{p}} \right]^T \left[\nabla I \frac{\partial W}{\partial \vec{p}} \right]$$

6. Calcular la solución aprox.

$$\overline{\Delta \vec{p}} = H^{-1} \sum_{\vec{x}} \left[\nabla I \frac{\partial W}{\partial \vec{p}} \right]^T E(\vec{x})$$

7. Actualizar los parámetros $\vec{p} \leftarrow \vec{p} + \overline{\Delta \vec{p}}$



ALINEAMIENTO POR COMPOSICIÓN (SHUN-SZELISKY)

- El problema lo podemos escribir también de esta forma

$$\min_{\vec{\Delta p}} \sum_{\vec{x}} \left[I \left(W(W(\vec{x}; \vec{\Delta p}); \vec{p}) \right) - T(\vec{x}) \right]^2 \quad (4)$$

- Al linealizar nos queda como

$$\sum_{\vec{x}} \left[I(W(\vec{x}; \vec{p})) + \nabla I(\vec{x}') \frac{\partial W(\vec{x}; \vec{0})}{\partial \vec{p}} \vec{\Delta p} - T(\vec{x}) \right]^2$$

- Aquí el Jacobiano se calcula una sola vez

ALGORITMO SS – ALINEAMIENTO POR COMPOSICIÓN

1. Transf. la imagen $I(W(\vec{x}; \vec{p}))$

2. Calcular el error

$$E(\vec{x}) = [T(\vec{x}) - I(W(\vec{x}; \vec{p}))]$$

3. Calcular el gradiente

$$\nabla I(\vec{x}'), \vec{x}' = W(\vec{x}; \vec{p})$$

4. Evaluar el Jacobiano $\frac{\partial W(\vec{x}; \vec{0})}{\partial \vec{p}}$ (Precalculado)

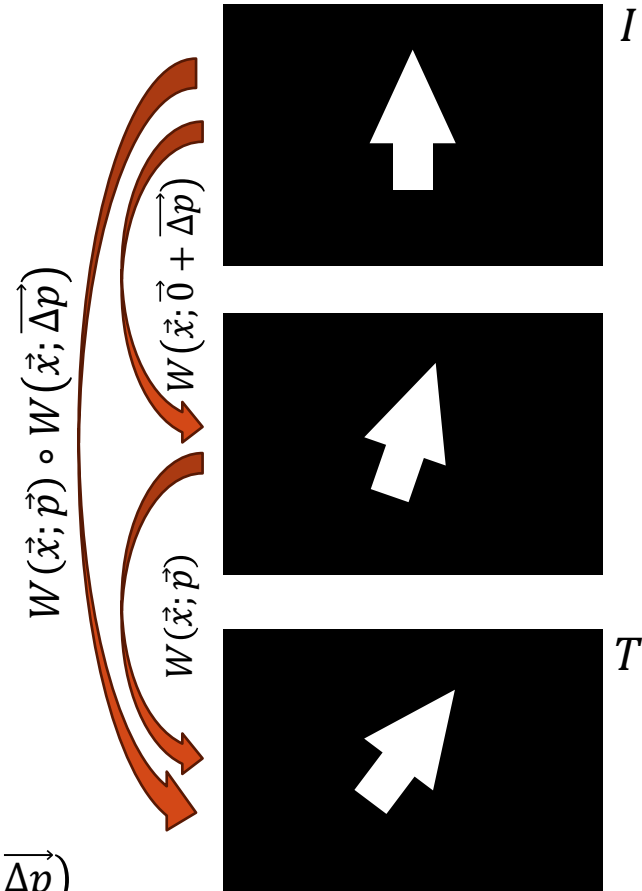
5. Calcular el Hessiano

$$H = \sum_{\vec{x}} \left[\nabla I \frac{\partial W}{\partial \vec{p}} \right]^T \left[\nabla I \frac{\partial W}{\partial \vec{p}} \right]$$

6. Calcular la solución aprox.

$$\vec{\Delta p} = H^{-1} \sum_{\vec{x}} \left[\nabla I \frac{\partial W}{\partial \vec{p}} \right]^T E(\vec{x})$$

7. Actualizar los parámetros $W(\vec{x}; \vec{p}) \leftarrow W(\vec{x}; \vec{p}) \circ W(\vec{x}; \vec{\Delta p})$



ALINEAMIENTO POR COMPOSICIÓN INVERSA (BAKER-MATTHEWS)

- ¿Qué pasa si también se transforma la imagen de referencia T ?

- Ahora el problema es

$$\min_{\vec{\Delta p}} \sum_{\vec{x}} \left[T(W(\vec{x}; \vec{\Delta p})) - I(W(\vec{x}; \vec{p})) \right]^2 \quad (5)$$

- Al linealizar nos queda como

$$\sum_{\vec{x}} \left[T(W(\vec{x}; \vec{0})) + \nabla T \frac{\partial W}{\partial \vec{p}} \vec{\Delta p} - I(W(\vec{x}; \vec{p})) \right]^2$$

- Solución aprox.

$$H = \underbrace{\sum_{\vec{x}} \left[\nabla T \frac{\partial W}{\partial \vec{p}} \right]^T \left[\nabla T \frac{\partial W}{\partial \vec{p}} \right]}_{\text{Precalculado}}, \vec{\Delta p} = H^{-1} \underbrace{\sum_{\vec{x}} \left[\nabla T \frac{\partial W}{\partial \vec{p}} \right]^T}_{\text{Precalculado}} [T(\vec{x}) - I(W(\vec{x}; \vec{p}))]$$

ALGORITMO BM – ALINEAMIENTO POR COMPOSICIÓN INVERSA

1. Transf. la imagen $I(W(\vec{x}; \vec{p}))$

2. Calcular el error

$$E(\vec{x}) = [T(\vec{x}) - I(W(\vec{x}; \vec{p}))]$$

3. Calcular el gradiente

$$\nabla T(W(\vec{x}; \vec{0}))$$

4. Evaluar el Jacobiano $\frac{\partial W(\vec{x}; \vec{0})}{\partial \vec{p}}$

5. Calcular el Hessiano

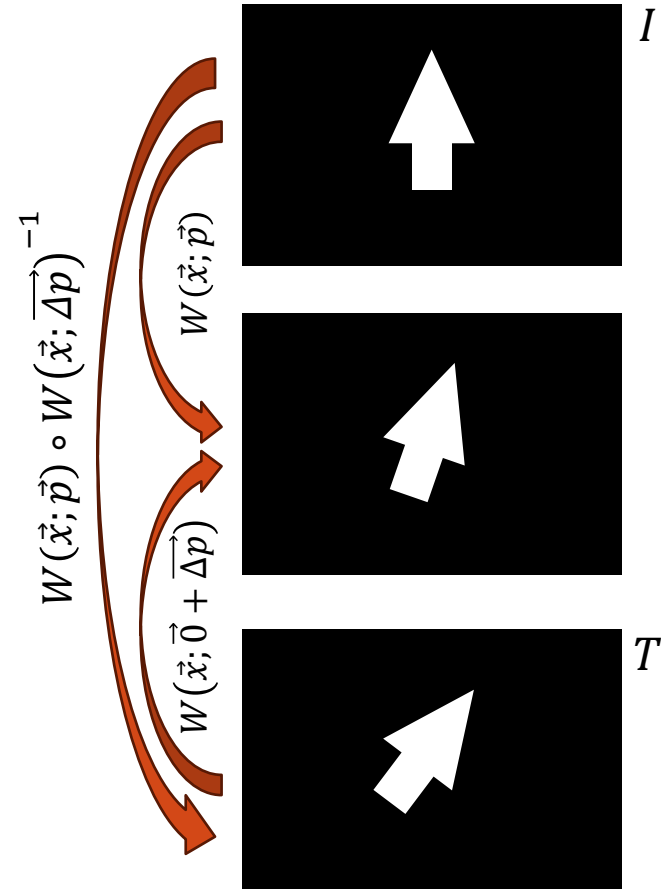
$$H = \sum_{\vec{x}} \left[\nabla T \frac{\partial W}{\partial \vec{p}} \right]^T \left[\nabla I \frac{\partial W}{\partial \vec{p}} \right]$$

6. Calcular la solución aprox.

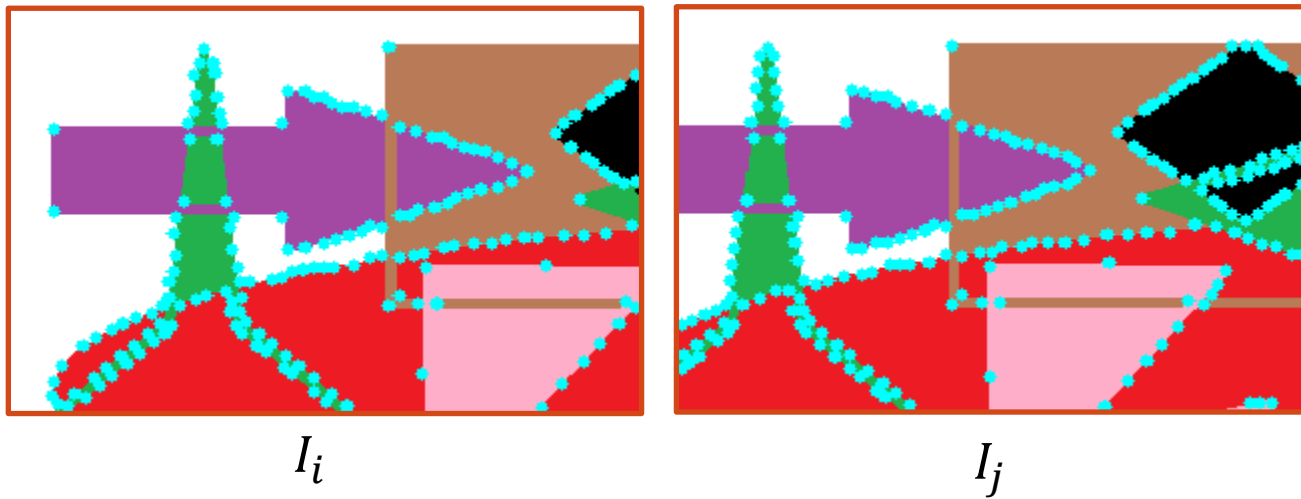
$$\vec{\Delta p} = H^{-1} \sum_{\vec{x}} \left[\nabla I \frac{\partial W}{\partial \vec{p}} \right]^T E(\vec{x})$$

7. Actualizar los parámetros $W(\vec{x}; \vec{p}) \leftarrow W(\vec{x}; \vec{p}) \circ W(\vec{x}; \vec{\Delta p})^{-1}$

Precalculado



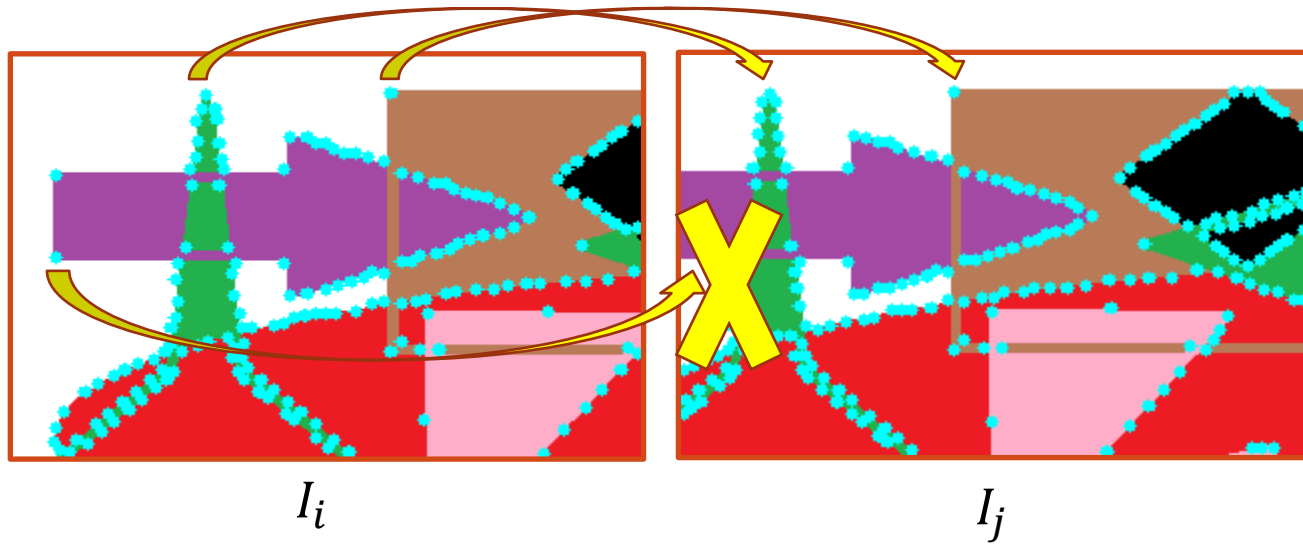
REGISTRO DE IMÁGENES USANDO PUNTOS DE INTERÉS



Detección de características en las imágenes

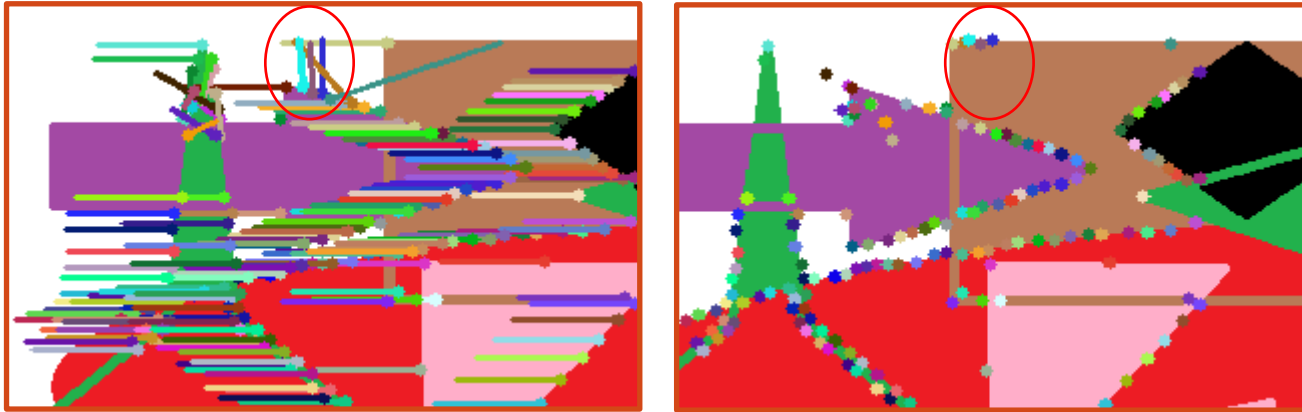
- `goodFeaturesToTrack()`
- `SIFT()`
- `SURF()`, etc.

REGISTRO DE IMÁGENES USANDO PUNTOS DE INTERÉS (C1)



Cálculo de correspondencias entre las características

REGISTRO DE IMÁGENES USANDO PUNTOS DE INTERÉS (C2)



I_i

I_j

Cálculo de correspondencias entre las características

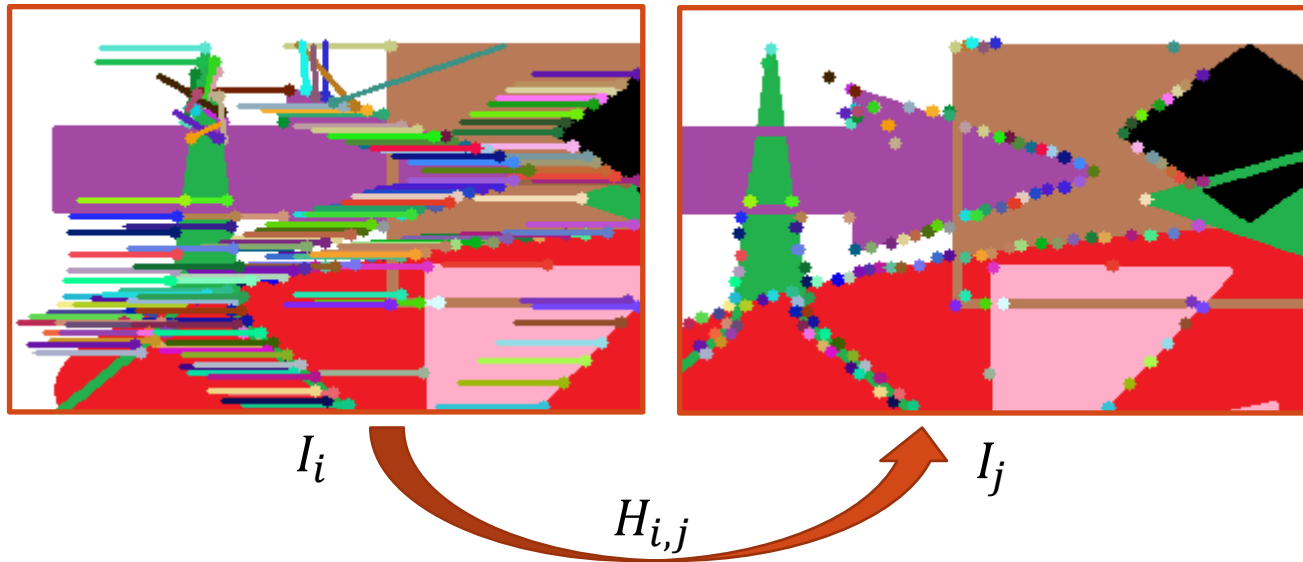
- Flujo óptico (Lucas-Kanade Piramidal)

Distancia Euclidiana entre los descriptores de las características:

$$d(c_r^i, c_s^j) = \|c_r^i - c_s^j\|_2$$

- Devolver todos los vectores con $d < threshold$
- Nearest Neighbor (NN): Vector con d más pequeña
- Nearest Neighbor Distance Ratio (NNDR): Si $NNDR < threshold$
 $NNDR = \frac{d_1}{d_2}$, con d_1 el más pequeño y d_2 el segundo más pequeño

REGISTRO DE IMÁGENES USANDO PUNTOS DE INTERÉS (C3)



Estimación de una Homografía $H_{i,j}$ a partir de las correspondencias

- $H_{i,j} \in \mathbb{R}^{3 \times 3}$
- Sea $\mathbf{x} = (x_1, x_2)^T$ la posición de un pixel en coordenadas cartesianas y $\hat{\mathbf{x}} = (\mathbf{x}^T, 1)^T$ su correspondiente punto en coordenadas homogéneas, entonces

$$\hat{\mathbf{x}}^j = H_{i,j} \hat{\mathbf{x}}^i$$

- Necesitamos por lo menos 4 correspondencias
- Podemos usar la técnica DLT (Direct Linear Transform)
- RANSAC (RANdom SAmple Consensus)

Hartley, A., Zisserman, A.: Multiple view geometry in computer vision (2 ed.). Cambridge University Press, Cambridge (2006)

CALCULAR LA HOMOGRAFÍA

- Tenemos que $\hat{x}^j = H_{i,j}\hat{x}^i$

$$\begin{pmatrix} x_1^j \\ x_2^j \\ 1 \end{pmatrix} = \begin{pmatrix} h_{11} & h_{12} & h_{13} \\ h_{21} & h_{22} & h_{23} \\ h_{31} & h_{32} & h_{33} \end{pmatrix} \begin{pmatrix} x_1^i \\ x_2^i \\ 1 \end{pmatrix}$$

- Entonces

$$x_1^j = \frac{h_{11}x_1^i + h_{12}x_2^i + h_{13}}{h_{31}x_1^i + h_{32}x_2^i + h_{33}}, \quad x_2^j = \frac{h_{21}x_1^i + h_{22}x_2^i + h_{23}}{h_{31}x_1^i + h_{32}x_2^i + h_{33}}$$

- Por cada correspondencia tenemos:

$$h_{11}x_1^i + h_{12}x_2^i + h_{13} - x_1^j(h_{31}x_1^i + h_{32}x_2^i + h_{33}) = 0$$

$$h_{21}x_1^i + h_{22}x_2^i + h_{23} - x_2^j(h_{31}x_1^i + h_{32}x_2^i + h_{33}) = 0$$

CALCULAR LA HOMOGRAFÍA (C1)

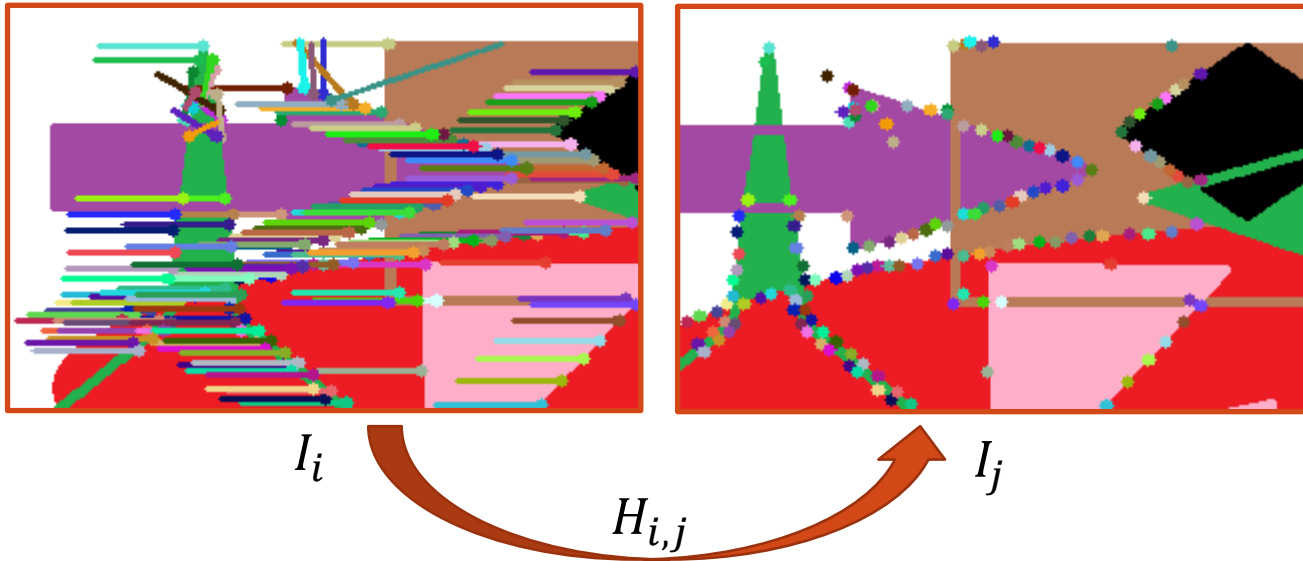
- Por DLT:

$$\begin{pmatrix} x_1^i & x_2^i & 1 & 0 & 0 & 0 & -x_1^j x_1^i & -x_1^j x_2^i & -x_1^j \\ 0 & 0 & 0 & x_1^i & x_2^i & 1 & -x_2^j x_1^i & -x_2^j x_2^i & -x_2^j \\ \vdots & & & \vdots & & & \vdots & & \vdots \end{pmatrix} \begin{pmatrix} h_{11} \\ h_{12} \\ \vdots \\ h_{33} \end{pmatrix} = \mathbf{0}$$

$$A_{2M \times 9} \mathbf{h}_9 = \mathbf{0}$$

- Resolver el sistema aplicando SVD
 - `>> [U, S, V] = svd(A);`
 - `>> h = V(:, último); %Si los valores propios estan ordenados de mayor a menor`

CALCULAR LA HOMOGRAFÍA (C2)



Para este par de imágenes se sabe que solo hay un corrimiento de 50 píxeles hacia la derecha, entonces:

$$H_{i,j} = \begin{pmatrix} 1 & 0 & 50 \\ 0 & 1 & 0 \\ 0 & 0 & 1 \end{pmatrix}$$

Resultado computacional:

$$H_{i,j} = \begin{pmatrix} 0.999954 & 0.000025 & 50.001379 \\ 0.000030 & 0.999853 & 0.003057 \\ -0.000000 & 0.000000 & 1.000000 \end{pmatrix}$$

GRACIAS POR SU ATENCIÓN

Francisco J. Hernandez-Lopez

fcoj23@ciimat.mx

WebPage:

www.ciimat.mx/~fcoj23

